

# Bit-Flipping Algorithm for Joint Decoding of Multiple Correlated Sources transmitted over noisy channels.

Fernando Pujaico Rivera and Jaime Portugheis, *Member, IEEE*

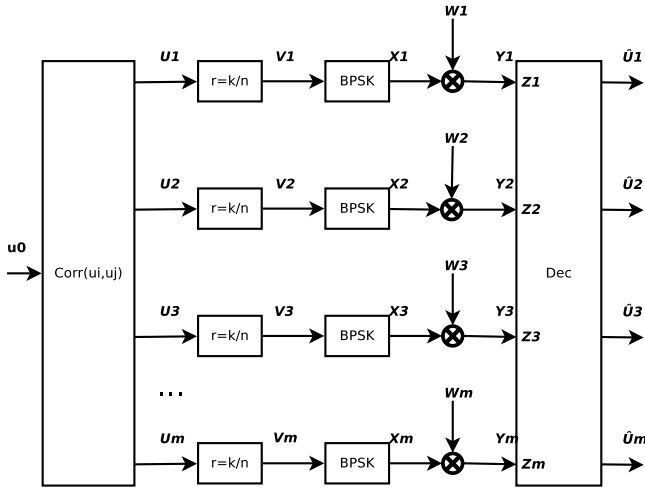


Figura 1. Diagrama de blocos do modelo geral de decodificação.

**Resumo**—This paper proposes a bit-flipping decoding algorithm suitable for decoding multiple correlated sources in a noisy environment. All sources are noisy versions of a single binary source and are transmitted through identical orthogonal binary symmetric channels (BSCs). The noisy versions are obtained by transmitting this single source through independent BSCs. The set of crossover probabilities of these BSCs can be chosen randomly. By fixing one of these probabilities to a value of approximately one, the decoding can be interpreted as decoding with multiple side information. Performance of the algorithm was obtained by computer simulation for systems up to 100 sources. All sources were encoded independently with short LDGM codes. For decoding with side information, the algorithm approaches a lower bound on performance. In conjunction with a fusion decision rule, the algorithm can be applied to a large scale sensor network modeled by the binary CEO problem.

**Index Terms**—LDGM codes, hard-decision decoding, BF decoding algorithm.

## I. INTRODUCTION

## II. SYSTEM MODEL

A Figura 1 mostra o modelo de codificação e decodificação de fontes conjuntas.

As fontes  $u_i$  foram geradas usando uma fonte primaria binaria  $u_0$  com  $p(u_0 = 1) = 0.5$  e fontes secundarias  $e_i$ ,

Manuscript received XXXX XX, 2010; revised XXXX XX, 2013. Department of Communications, Faculty of Electrical and Computer Engineering, State University of Campinas (UNICAMP), Campinas-SP, Brazil.

E-mails: {fpujaico,jaime}@decom.fee.unicamp.br

$i \in \{1, \dots, m\}$ . Onde  $p(e_i = 1) = p_i$

$$u_i = u_0 \otimes e_i \quad (1)$$

## III. BIT-FLIPPING DECODING

Existem muitos algoritmos simples para realizar uma decodificação da informação que percorre um canal com ruído. Estes algoritmos podem usar uma decisão suave (“soft”) ou abrupta (“hard”). Se diz que um algoritmo de decodificação realiza uma decisão suave se utiliza na sua predição dados que são números reais, pelo contrario se diz que o algoritmo de decodificação realiza uma decisão abrupta quando usa dados inteiros como dados de entrada.

Aqui se trabalhará sobre algoritmos de decodificação para códigos de verificação de paridade de baixa densidade ou também chamado *LDPC*, do inglês “Low Density Parity Check”.

Como pode-se ver na Figura 1 se tem  $m$  canais ruidosos com vetores  $Y_i$  na sua saída, ou com sua contraparte abrupta  $Z_i$ . Pode-se realizar com estes vetores uma decodificação para obter uma estimado  $\hat{U}_i$  de  $U_i$ , baseando-se só na redundância acrescenta por cada codificador fonte-canal de taxa  $r$  (a esto se chamará decodificação independente), ou pode-se usar a informação redundante acrescentada pelo conhecimento da informação ruidosa recebida das outras  $m - 1$  fontes  $u_i$  (esto se chamará decodificação conjunta).

### A. Algoritmos de decodificação independente

Entre os algoritmos de decodificação independente temos.

1) *Algoritmo Parallel Hard Bit-Flipping*: Ela trabalha sobre um vetor de entrada binário  $Z$  e tem como regra de geração de confiabilidade,  $E_{Ij}$ ,

$$E_{Ij} = \sum_{l \in \mathcal{M}(j)} (2s_l - 1), \quad (2)$$

O critério de troca dos bit errados é igual ao algoritmo *BF*. Troca-se todos os bits com um  $E_{Ij} \geq \delta$ . Para a implementação atual usou-se como  $\delta$  o maior valor de  $E_{Ij}$ . O algoritmo III-A1 detalha todo o procedimento para a decodificação *PHBF*.

### Decodificação Parallel Hard Bit-Flipping.

- 1) Inicia-se com  $i = 0$  e o vetor de decisão abrupta  $Z^{(i)} = (z_1^{(i)}, \dots, z_j^{(i)}, \dots, z_n^{(i)}) = Z$ .
- 2) Calcula-se a síndrome  $S = H^t Z^{(i)} \pmod{2}$ . Se todos os valores  $s_l$  com  $l = \{0, \dots, L - 1\}$  são zero, então pára a decodificação e se retorna o vetor  $Z^{(i)}$ .

- 3) Para  $j = 0, \dots, n-1$ , avalia-se a função de flipping  $E_{I_j}$  em (2).
- 4) Identifica-se o conjunto  $\{j^*\}$ , onde  $j^* = \arg \max_j E_{I_j}$ .
- 5) Troca-se de valor todos os bits  $z_j^{(i)}$  onde  $j \in \{j^*\}$ , e faz-se  $Z^{(i+1)} = Z^{(i)}$ .
- 6) Se o máximo número de iterações não é atingido, faz-se  $i = i + 1$  e vai-se ao passo 2. Caso contrário, se detêm a decodificação e se retorna  $Z$ .

A confiabilidade de cada bit  $z_j$  é calculada somando a quantidade de bits de verificação de paridade  $s_l$  que ligados a  $z_j$  indiquem a existência de um erro, e diminuindo a quantidade de bits de verificação de paridade  $s_l$  que ligados ao bit  $z_j$  não indiquem a existência de erro. “*Muito parecido a uma votação, onde são contabilizados os votos em contra e os votos a favor que anulam um voto em contra, ao final o conjunto de bits que tenham mais votos em contra serão trocados*”.

### B. Algoritmos de decodificação conjunta

O algoritmo de decodificação conjunta aqui apresentado é uma modificação aos algoritmos de decodificação independente. Em geral a modificação será trocar o uso da confiabilidade independente  $E_{I_j}$  do bit  $z_j$  por uma confiabilidade total  $E_{T_j} = E_{I_j} + \beta E_{C_j}$ . Onde  $\beta$  é um fator de ponderação e  $E_{C_j}$  é a confiabilidade conjunta para cada bit  $z_j$  do vetor recebido  $Z$ . Esta confiabilidade conjunta será calculada usando os dados dos bits recebidos dos outros  $m-1$  canais e ponderado em função à correlação como eles. Assim o caso da decodificação independente é um caso específico da decodificação conjunta quanto  $\beta = 0$ .

Para fazer a decodificação conjunta se definirá para cada um dos  $m$  canais de informação a confiabilidade  $E_{T_j}^i$ , onde  $i$  indica a que canal corresponde a confiabilidade do bit recebido  $z_j^i$ .

1) *Algoritmo Distributed Sources Parallel Hard Bit-Flipping*: O algoritmo “Distributed Sources Parallel Hard Bit-Flipping” (DS-PHBF) usa como confiabilidade

$$E_{T_j}^i = E_{I_j}^i + \lfloor \beta E_{C_j}^i \rfloor. \quad (3)$$

Onde  $\lfloor b \rfloor$  é o máximo inteiro de  $b$ , e  $\beta$  é um fator de ponderação entre a confiabilidade independente e a confiabilidade conjunta. Para calcular  $E_{C_j}^i$  é necessário conhecer

$$L^i = \sum_{a=1|a \neq i}^m 1, \quad (4)$$

dado que

$$E_{C_j}^i = \frac{\sum_{a=1|a \neq i, z_j^i \neq z_j^a}^m \frac{E_{I_j}^a \text{Corr}(i,a)}{L^i}}{\sum_{a=1|a \neq i, z_j^i = z_j^a}^m \frac{E_{I_j}^a \text{Corr}(i,a)}{L^i}} \quad (5)$$

### IV. NUMERICAL RESULTS

O desempenho do algoritmo *DS-PHBF* se vê na Figura ?? . Nesta figura temos 10 fontes binárias correlacionadas  $u_i$  com  $i \in \{1, 2, \dots, 10\}$  e  $H(u_i) = 1.0$ .

As fontes foram criadas seguindo uma distribuição uniforme entre 0.01 e 0.99 para os valores  $p_i \in \{0.01, 0.2, 0.3, 0.4, 0.5, 0.6, 0.7, 0.8, 0.9, 0.91\}$  no modelo de geração de fontes explicado na seção II. As 10 fontes foram codificadas com um código *LDGM* como um valor de  $k = 204$  bits de informação e  $n = 306$  bits codificados. A proteção para os bits de informação dentro do vetor codificado é de  $X = 5$ . Se aplicaram a todas as fontes os algoritmos *PHBF* e *DS-PHBF*.

Na Figura 2 se vê desenhado com “\*” o desempenho dos algoritmos *PHBF*, como é natural a decodificação de todas as fontes tem o mesmo desempenho dado que usam o mesmo algoritmo e a mesma matriz de verificação de paridade. O desempenho dos algoritmos *DS-PHBF* se vê desenhado com “—”, como pode-se ver todos os canais tiveram uma apreciável melhora no seu desempenho, nenhum dos canais pioraram seu desempenho. A media do desempenho do algoritmo esta desenhado com “□”. O desempenho dos algoritmos *DS-PHBF* em media mostraram ser ligeiramente melhor do desempenho dos algoritmos *PHBF*. Todos os algoritmos usaram  $IT = 15$  iterações como máximo antes de desistir de corrigir os erros. O limite inferior do desempenho dos códigos *LDGM* [?] esta desenhado com “O”. O desempenho num canal não codificado esta desenhado com uma linha pontuada “-.-”.

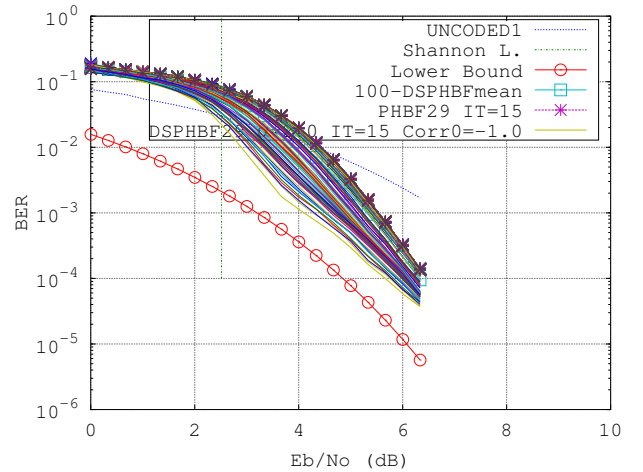


Figura 2. Gráfico do desempenho da decodificação de 100 fontes  $u_i$  correlacionadas com  $K = 204$  e  $N = 306$  com códigos *LDGM*  $X = 5$  e  $Y = 10$ .

### V. CONCLUSIONS

#### REFERÊNCIAS

- [1] R. G. Gallager, *Low density parity check codes*. MIT press, Cambridge, 1963.
- [2] M. Sipser and D. Spielman, “Expander codes,” *IEEE Trans. Inform. Theory*, vol. 42, pp. 1710-1722, Nov. 1996.
- [3] Y. Kou, S. Lin and M. Fossorier, “Low-density parity-check codes based on finite geometries: a rediscovery and new results,” *IEEE Trans. Inform. Theory*, vol. 47, pp. 2711-2736, Nov. 2001.
- [4] D. J. C. MacKay. *Encyclopedia of Sparse Graph Codes* [Online]. Available: <http://www.inference.phy.cam.ac.uk/mackay/codes/data.html>
- [5] J. Garcia-Frias and W. Zhong, “Approaching Shannon performance by iterative decoding of linear codes with low-density generator matrix,” *IEEE Commun. Lett.*, vol. 7, pp. 266-268, June 2003.